

# Improving branch-and-cut performance by random sampling

Matteo Fischetti<sup>1</sup>, Andrea Lodi<sup>2</sup>, Michele Monaci<sup>1</sup>,  
Domenico Salvagnin<sup>1</sup>, Andrea Tramontani<sup>3</sup>

Présentation de l'article : Gauthier Gidel<sup>4</sup>

<sup>1</sup>DEI, University of Padova, Italy

<sup>2</sup>DEI, University of Bologna, Italy

<sup>3</sup>CPLEX Optimization, Bologna, Italy

<sup>4</sup>DIRO, Université de Montréal.

11 Avril 2017

Slides disponibles sur [www.di.ens.fr/~gidel](http://www.di.ens.fr/~gidel).

# Overview

1. Motivations
2. Contributions de l'article.
3. Variabilités des différents solvers.
4. L'algorithme `ksample`.
5. Son implémentation dans `Cplex`.
6. Conclusion.

# Motivations

Expérience avec Cplex sur un même dataset<sup>1</sup>.

Dataset : 10teams      Version de Cplex : 11

---

<sup>1</sup>Danna Emilie. “Performance variability in mixed integer programming”.

In: *MIP 2008 workshop in New York*. 2008.

# Motivations

Expérience avec Cplex sur un même dataset<sup>1</sup>.

Dataset : 10teams      Version de Cplex : 11

- ▶ Première résolution de l'instance.
- ▶ Plateforme : **Linux**
- ▶ Temps **0.41 secs**. Itérations : **2731**. Nœuds : **0**

---

<sup>1</sup>Danna Emilie. "Performance variability in mixed integer programming".

In: *MIP 2008 workshop in New York*. 2008.

# Motivations

Expérience avec Cplex sur un même dataset<sup>1</sup>.

Dataset : 10teams      Version de Cplex : 11

- ▶ Première résolution de l'instance.
- ▶ Plateforme : **Linux**
- ▶ Temps **0.41 secs**. Itérations : **2731**. Nœuds : **0**
  
- ▶ Seconde résolution de l'instance.
- ▶ Plateforme : **AIX**
- ▶ Temps **41.39 secs**. Itérations : **122948**. Nœuds : **1426**

---

<sup>1</sup>Danna Emilie. "Performance variability in mixed integer programming".

In: *MIP 2008 workshop in New York*. 2008.

# Motivations

**Même** algorithme. **Même** instance.  
Facteur **100** pour le temps de résolution.  
Facteur **50** pour le nombre d'itération.

# Motivations

**Même** algorithme. **Même** instance.  
Facteur **100** pour le temps de résolution.  
Facteur **50** pour le nombre d'itération.

Pourquoi le même algorithme sur les mêmes données  
n'effectue pas le même nombre d'itération selon la  
plateforme ?

**Même** algorithme. **Même** instance.  
Facteur **100** pour le temps de résolution.  
Facteur **50** pour le nombre d'itération.

Pourquoi le même algorithme sur les mêmes données  
n'effectue pas le même nombre d'itération selon la  
plateforme ?

- ▶ Choix aléatoires **différents** sur chaque plateforme.

# Causes de l'aléas dans le B & C

Des cas d'égalité apparaissent :

1. Égalité de scores : choix du branchement, choix du nœud après un retour en arrière,...

Règle pour choisir parmi les égalités :

- ▶ Choix "aléatoires".
- ▶ Erreurs d'arrondis influencent ce choix.

# Causes de l'aléas dans le B & C

Des cas d'égalité apparaissent :

1. Égalité de scores : choix du branchement, choix du nœud après un retour en arrière,...

Règle pour choisir parmi les égalités :

- ▶ Choix "aléatoires".
  - ▶ Erreurs d'arrondis influencent ce choix.
2. Coupes : Choix de la variable pour la coupes de Gomory,...

# Causes de l'aléas dans le B & C

Des cas d'égalité apparaissent :

1. Égalité de scores : choix du branchement, choix du nœud après un retour en arrière,...

Règle pour choisir parmi les égalités :

- ▶ Choix "aléatoires".
  - ▶ Erreurs d'arrondis influencent ce choix.
2. Coupes : Choix de la variable pour la coupes de Gomory,...
  3. Base optimale dégénérée des relaxations LP.

# Causes de l'aléas dans le B & C

Des cas d'égalité apparaissent :

1. Égalité de scores : choix du branchement, choix du nœud après un retour en arrière,...

Règle pour choisir parmi les égalités :

- ▶ Choix "aléatoires".
  - ▶ Erreurs d'arrondis influencent ce choix.
2. Coupes : Choix de la variable pour la coupes de Gomory,...
  3. Base optimale dégénérée des relaxations LP.
  4. **Première** (à la racine) base optimale **dégénérée**.

# Causes de l'aléas dans le B & C

Des cas d'égalité apparaissent :

1. Égalité de scores : choix du branchement, choix du nœud après un retour en arrière,...

Règle pour choisir parmi les égalités :

- ▶ Choix "aléatoires".
  - ▶ Erreurs d'arrondis influencent ce choix.
2. Coupes : Choix de la variable pour la coupes de Gomory,...
  3. Base optimale dégénérée des relaxations LP.
  4. **Première** (à la racine) base optimale **dégénérée**.

Paramètre "Random seed" non disponible à cette époque :

**Changement de plateforme** : moyen pour mettre en exergue cette variabilité !

# Première cause de l'aléas dans le B & C

## Dégénérescence :

- ▶ Coin **dégénéré** : solution d'au moins deux ensembles **distincts** de contraintes d'inégalités.
- ▶ Base **dégénérée** : contient un coin dégénéré.

# Première cause de l'aléas dans le B & C

## Dégénérescence :

- ▶ Coin **dégénéré** : solution d'au moins deux ensembles **distincts** de contraintes d'inégalités.
- ▶ Base **dégénérée** : contient un coin dégénéré.

De manière équivalente :

- ▶ Base **dégénérée** : une des variable de base est fixée à 0 dans la solution de base.

Plupart des programmes linéaires rencontrés en pratique sont dégénérés (dont celui de la **racine**).

# Cause de l'aléas dans le B & C

Illustration de la dégénérescence :  $(x_3, x_4)$  et  $(x_2, x_3)$  sont deux bases optimales possibles.

$z$	$x_1$	$x_2$	$x_3$	$x_4$	
1	3	-2	0	0	-2
0	-3	-3	1	0	2
0	-1	2	0	1	0

→

# Cause de l'aléas dans le B & C

Illustration de la dégénérescence :  $(x_3, x_4)$  et  $(x_2, x_3)$  sont deux base optimales possibles.

$z$	$x_1$	$x_2$	$x_3$	$x_4$	
1	3	-2	0	0	-2
0	-3	-3	1	0	2
0	-1	2	0	1	0

→

$z$	$x_1$	$x_2$	$x_3$	$x_4$	
1	3	0	0	1	-2
0	-3	0	1	2	2
0	-1	1	0	1/2	0

**Conclusion.** Dégénérescence : grande cause de **variabilité**.

# Contribution

Contributions de l'article :

- ▶ Étude de la variabilité de performance des différents solvers. (Cplex, Gurobi et XPRESS)

# Contribution

Contributions de l'article :

- ▶ Étude de la variabilité de performance des différents solvers. (Cplex, Gurobi et XPRESS)
- ▶ Création d'un Algorithme, exploitant cette variabilité :

# Contribution

Contributions de l'article :

- ▶ Étude de la variabilité de performance des différents solvers. (Cplex, Gurobi et XPRESS)
- ▶ Création d'un Algorithme, exploitant cette variabilité :
  - ▶ Optimise  $K$  fois la racine en parallèle.

# Contribution

Contributions de l'article :

- ▶ Étude de la variabilité de performance des différents solvers. (Cplex, Gurobi et XPRESS)
- ▶ Création d'un Algorithme, exploitant cette variabilité :
  - ▶ Optimise  $K$  fois la racine en parallèle.
  - ▶ Utilise une base optimale initiale différente.

# Contribution

Contributions de l'article :

- ▶ Étude de la variabilité de performance des différents solvers. (Cplex, Gurobi et XPRESS)
- ▶ Création d'un Algorithme, exploitant cette variabilité :
  - ▶ Optimise  $K$  fois la racine en parallèle.
  - ▶ Utilise une base optimale initiale différente.
  - ▶ Rassemble les informations obtenues par chaque résolution.

# Contribution

Contributions de l'article :

- ▶ Étude de la variabilité de performance des différents solvers. (Cplex, Gurobi et XPRESS)
- ▶ Création d'un Algorithme, exploitant cette variabilité :
  - ▶ Optimise  $K$  fois la racine en parallèle.
  - ▶ Utilise une base optimale initiale différente.
  - ▶ Rassemble les informations obtenues par chaque résolution.
  - ▶ Cet algorithme est appelé `ksample`.

# Étude la variabilité de performance des solvers

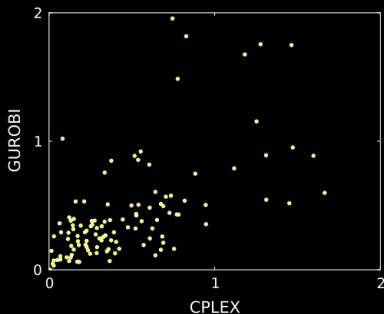
**Génération aléatoire** : Permutation aléatoire des lignes et des colonnes du modèle original.

# Étude la variabilité de performance des solvers

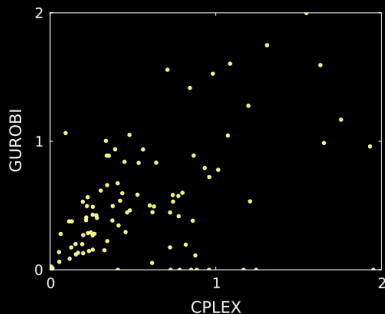
**Génération aléatoire** : Permutation aléatoire des lignes et des colonnes du modèle original.

Rapport déviation standard sur moyenne arithmétique :

**temps**



**nb de nœuds**

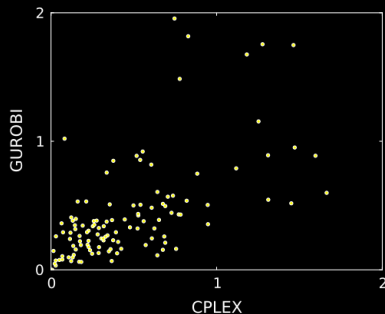


# Étude la variabilité de performance des solvers

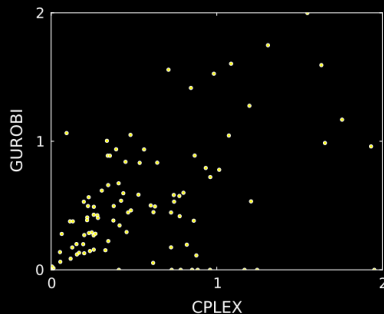
**Génération aléatoire** : Permutation aléatoire des lignes et des colonnes du modèle original.

Rapport déviation standard sur moyenne arithmétique :

**temps**



**nb de nœuds**



Variabilité fortement corrélée avec :

- ▶ Difficulté du problème.
- ▶ Prétraitement.

# Technique d'échantillonnage pratique

- ▶ Simuler la permutation des lignes et des colonnes.

---

<sup>2</sup>Danna Emilie. “Performance variability in mixed integer programming”.

In: *MIP 2008 workshop in New York*. 2008.

# Technique d'échantillonnage pratique

- ▶ Simuler la permutation des lignes et des colonnes.
- ▶ Paramètre "random seed" rendu disponible après cet article.

---

<sup>2</sup>Danna Emilie. "Performance variability in mixed integer programming".

In: *MIP 2008 workshop in New York*. 2008.

# Technique d'échantillonnage pratique

- ▶ Simuler la permutation des lignes et des colonnes.
- ▶ Paramètre "random seed" rendu disponible après cet article.
- ▶ Introduit un aléa "neutre" n'influençant pas le processus d'optimisation.<sup>2</sup>

---

<sup>2</sup>Danna Emilie. "Performance variability in mixed integer programming".

In: *MIP 2008 workshop in New York*. 2008.

# L'Algorithme `ksample`

**Entrée** : une instance  $I$  de MIP.

# L'Algorithme `ksample`

**Entrée** : une instance  $I$  de MIP.

1. Prétraite l'instance  $I$ .

# L'Algorithme `ksample`

**Entrée** : une instance  $I$  de MIP.

1. Prétraite l'instance  $I$ .
2. Calcule les bases optimales de la relaxation LP initiale.

# L'Algorithme `ksample`

**Entrée** : une instance  $I$  de MIP.

1. Prétraite l'instance  $I$ .
2. Calcule les bases optimales de la relaxation LP initiale.
3. **for**  $i = 1 \dots K - 1$ :
  - ▶ Choisit aléatoirement une base optimale  $B_i$  de LP.

# L'Algorithme `ksample`

**Entrée** : une instance  $I$  de MIP.

1. Prétraite l'instance  $I$ .
2. Calcule les bases optimales de la relaxation LP initiale.
3. **for**  $i = 1 \dots K - 1$ :
  - ▶ Choisit aléatoirement une base optimale  $B_i$  de LP.
  - ▶ Exécute les méthodes de coupes à la racine.

# L'Algorithme `ksample`

**Entrée** : une instance  $I$  de MIP.

1. Prétraite l'instance  $I$ .
2. Calcule les bases optimales de la relaxation LP initiale.
3. **for**  $i = 1 \dots K - 1$ :
  - ▶ Choisit aléatoirement une base optimale  $B_i$  de LP.
  - ▶ Exécute les méthodes de coupes à la racine.
  - ▶ Enregistre les coupes  $P_i$  et les solutions réalisables  $S_i$ .

# L'Algorithme `ksample`

**Entrée** : une instance  $I$  de MIP.

1. Prétraite l'instance  $I$ .
2. Calcule les bases optimales de la relaxation LP initiale.
3. **for**  $i = 1 \dots K - 1$ :
  - ▶ Choisit aléatoirement une base optimale  $B_i$  de LP.
  - ▶ Exécute les méthodes de coupes à la racine.
  - ▶ Enregistre les coupes  $P_i$  et les solutions réalisables  $S_i$ .
4. Résout  $I$  utilisant les ensembles :

$$S := \cup_{i=1}^{K-1} S_i \quad \text{et} \quad P := \cup_{i=1}^{K-1} P_i.$$

# L'Algorithme `ksample`

**Entrée :** une instance  $I$  de MIP.

1. Prétraite l'instance  $I$ .
2. Calcule les bases optimales de la relaxation LP initiale.
3. **for**  $i = 1 \dots K - 1$ :
  - ▶ Choisit aléatoirement une base optimale  $B_i$  de LP.
  - ▶ Exécute les méthodes de coupes à la racine.
  - ▶ Enregistre les coupes  $P_i$  et les solutions réalisables  $S_i$ .
4. Résout  $I$  utilisant les ensembles :

$$S := \cup_{i=1}^{K-1} S_i \quad \text{et} \quad P := \cup_{i=1}^{K-1} P_i.$$

**Sortie :** Une solution optimale de  $I$ .

# Réduire la variabilité en restant compétitif

Avec une grande valeur pour  $K$  :

- ▶ Variabilité des performances plus faible.

# Réduire la variabilité en restant compétitif

Avec une grande valeur pour  $K$  :

- ▶ Variabilité des performances plus faible.
- ▶ Certaines instances sont résolues à la racine.

# Réduire la variabilité en restant compétitif

Avec une grande valeur pour  $K$  :

- ▶ Variabilité des performances plus faible.
- ▶ Certaines instances sont résolues à la racines.
- ▶ Nombre de nœuds produits largement inférieur.

# Réduire la variabilité en restant compétitif

Avec une grande valeur pour  $K$  :

- ▶ Variabilité des performances plus faible.
- ▶ Certaines instances sont résolues à la racines.
- ▶ Nombre de nœuds produits largement inférieur.
- ▶ Temps de calculs plus long dû à la synchronisation nécessaire de toutes les optimisation parallèles.

# Réduire la variabilité en restant compétitif

Avec une grande valeur pour  $K$  :

- ▶ Variabilité des performances plus faible.
- ▶ Certaines instances sont résolues à la racines.
- ▶ Nombre de nœuds produits largement inférieur.
- ▶ Temps de calculs plus long dû à la synchronisation nécessaire de toutes les optimisation parallèles.
- ▶ Impossible pour `ksample` de paralléliser certain calculs d'une même optimisation.

# Réduire la variabilité en restant compétitif

Avec une grande valeur pour  $K$  :

- ▶ Variabilité des performances plus faible.
- ▶ Certaines instances sont résolues à la racines.
- ▶ Nombre de nœuds produits largement inférieur.
- ▶ Temps de calculs plus long dû à la synchronisation nécessaire de toutes les optimisation parallèles.
- ▶ Impossible pour `ksample` de paralléliser certain calculs d'une même optimisation.

Un compromis peut être trouvé avec une petite valeur pour  $K$ .

# Résultats concernant la réduction de variabilité

Comparaison à la racine. (`cpxdef` : Cplex standard)

Testbed	Instance	igap		pgap		dgap	
		Avg (%)	St.dev (%)	Avg (%)	St.dev (%)	Avg (%)	St.dev (%)
Benchmark	<code>cpxdef</code>	53.80	5.66	45.20	6.35	22.32	0.89
	<code>ksample</code>	37.74	4.63	25.88	6.49	21.61	0.84
Primal	<code>cpxdef</code>	63.37	10.05	63.37	10.05	0.00	0.00
	<code>ksample</code>	31.79	3.28	31.79	3.28	0.00	0.00
All	<code>cpxdef</code>	56.91	7.08	51.10	7.55	15.07	0.60
	<code>ksample</code>	35.81	4.19	27.80	5.45	14.59	0.57

- ▶ 10 répétitions de `cpxdef` et `ksample` avec  $K = 10$ .
- ▶ Nette amélioration des performances.

# Résultats concernant le gain d'efficacité

Comparaison pour le B&C complet. (cpxdef : Cplex standard)

Seed	Method	All		Opt		
		Solved	Det.time	Solved	Det.time	Nodes
1	cpxdef	107	172,584	104	109,569	2175
	ksample	108	151,004	104	96,370	1765
2	cpxdef	105	172,022	102	102,103	1871
	ksample	104	153,985	102	85,571	1296
3	cpxdef	107	170,467	104	104,152	2171
	ksample	106	142,778	104	84,352	1581
4	cpxdef	106	182,415	106	118,001	2314
	ksample	109	154,826	106	104,730	1816
5	cpxdef	105	199,470	104	119,466	2415
	ksample	111	148,777	104	100,566	1780

- ▶ Résultats plus mitigés.
- ▶ Meilleures performance mais beaucoup de variabilité.

# Implementation pour Cplex

- ▶ Le choix a été fait de  $K = 2$ .

# Implementation pour Cplex

- ▶ Le choix a été fait de  $K = 2$ .
- ▶ Permet de limiter le coût général de l'opération.

# Implementation pour Cplex

- ▶ Le choix a été fait de  $K = 2$ .
- ▶ Permet de limiter le coût général de l'opération.
- ▶ Permet néanmoins une meilleure exploration des coupes et des solutions réalisables.
- ▶  $K > 2$  donne un moins bon rapport coût/exploration.

# Implementation pour Cplex

- ▶ Le choix a été fait de  $K = 2$ .
- ▶ Permet de limiter le coût général de l'opération.
- ▶ Permet néanmoins une meilleure exploration des coupes et des solutions réalisables.
- ▶  $K > 2$  donne un moins bon rapport coût/exploration.
- ▶ Permet de synchroniser facilement les coupes et les solutions réalisables **au cours** de l'exploration.

# Résultats

Performances sur IBM ILOG Cplex 12.5.1.

- ▶ Tests sur  $\sim 3200$  problèmes.
- ▶ Limite de temps 10,000s. Limite de taille pour l'arbre 6GB.

---

<sup>3</sup>Tobias Achterberg et al. “Constraint Integer Programming: A New Approach to Integrate CP and MIP”. . In: *Integration of AI and OR Techniques in Constraint Programming for Combinatorial Optimization Problems*. 2008.

# Résultats

Performances sur IBM ILOG Cplex 12.5.1.

- ▶ Tests sur  $\sim 3200$  problèmes.
- ▶ Limite de temps 10,000s. Limite de taille pour l'arbre 6GB.
- ▶ *Time* : ratio des moyennes géométriques biaisées :

$$\bar{t}_n := \left( \prod_{k=1}^n (t_i + s) \right)^{1/n} - s$$

- ▶ *Nodes* : idem mais pour les nombre de nœuds.
- ▶ Moyenne géométrique biaisée réduit l'influence des outliers.<sup>3</sup>.

---

<sup>3</sup>Tobias Achterberg et al. “Constraint Integer Programming: A New Approach to Integrate CP and MIP”. . In: *Integration of AI and OR Techniques in Constraint Programming for Combinatorial Optimization Problems*. 2008.

## Performances sur IBM ILOG Cplex 12.5.1.

Class	All models				Affected		
	#models	#tilim	Time	Nodes	#models	Time	Nodes
All	3157	84/82	0.99	0.96	1312	0.98	0.92
[0,10k]	3086	13/11	0.99	0.96	1312	0.98	0.92
[1,10k]	1870	13/11	0.98	0.97	1090	0.97	0.94
[10,10k]	1092	13/11	0.97	0.96	678	0.96	0.94
[100,10k]	559	13/11	0.95	0.92	367	0.92	0.88
[1k,10k]	219	13/11	0.90	0.86	154	0.86	0.81

- ▶ L'ensemble  $[n, 10k]$  contient les instances qui ont pris au moins  $n$  secs.
- ▶ *Affected* : modèles ayant menés à des calculs différents.

# Conclusion

- ▶ Haute sensibilité aux conditions initiale pour les solvers comme Cplex → grande variabilité dans les résultats.
- ▶ La première source de variabilité : dégénérescence de la relaxation continue de la racine.

# Conclusion

- ▶ Haute sensibilité aux conditions initiale pour les solvers comme `Cplex` → grande variabilité dans les résultats.
- ▶ La première source de variabilité : dégénérescence de la relaxation continue de la racine.
- ▶ Implémentation dans `Cplex` basée sur deux calculs effectués en parallèle sur la racine avec des choix aléatoires différents.
- ▶ Réduction du temps de calcul et du nombre de nœuds générés → par défaut depuis `Cplex 12.5.1`.

Merci !

Slides disponibles sur [www.di.ens.fr/~gidel](http://www.di.ens.fr/~gidel).